**ТЕПЛОТЕХНИКА** 

## А. Т. КУЛОЯН, А. С. ОГАНЕСЯН, К. Н. АДАМЯН

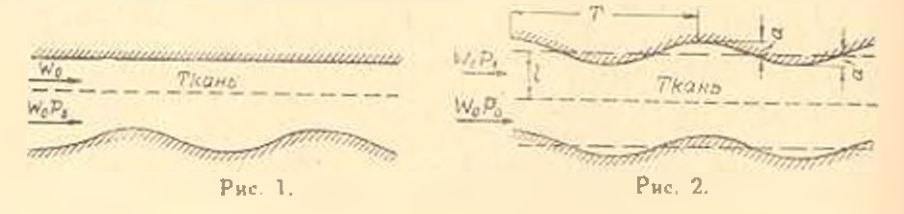
## К ИНТЕНСИФИКАЦИИ ПРОЦЕССА СУШКИ ТОНКИХ ПРОНИЦАЕМЫХ ТЕЛ В ПОЛЕ ГРАДИЕНТНОГО ТЕЧЕНИЯ

Анализ работ, поснященных исследованию тепло- и массос змена при сушке тонких капиллярно-пористых іпроницаемых тел, показывает, что пока мало внимании обращается на исследование гидродинамической обстановки, при которой происходят эти процессы. Изнестно, что именно гидродинамическая обстановка определяет интенсивность обменных процессов. Интенсивность этих процессов можно существенно увеличить путем создания в потоке таких неоднородностей по данлению, которые приводили бы к непрерывному обмену между пограничным слоем и основным потоком.

Неоднородности по давлению могут интенсифицировать обменные процессы, если их осуществление приводит:

- к генерированию в вязком подслое понышенного уровня турбулентности:
  - к утонению вязкого подслоя;
  - к уведичению действительной поверхности испарения;
- к разрушению пограничного слоя за счет всасывания или вдувания последнего.

Все эти процессы в той или иной мере можно осуществить в ка-



В канале, образованном между тканью и плоским листом, давление по длине убывает, а в канале между тканью и синусоидальным листом давление последовательно увеличивается (в диффузорной части) и уменьшается (в конфузорной части).

Таким образом, по длине иторого канала создается знакопеременный продольный градиент давления. Изменение давления по длине этого канала, в свою очередь, приводит к появлению знакопеременного поперечного градиента давления. Течение газа через диффузорную часть

квнала сопровождается генерацией повышенного уровня турбулентности в пограничном слое. Результирующая интенсивность обменных процессов при малых положительных градиентах давления и безотрывном течении обусловлена двумя протипоположными факторами: а) увеличением сопротивления тепло- и массообмена из-за упеличения толщины турбулентного пограничного слоя; б) уменьшением сопротивления тсплои массообмена из-за увеличения уровня турбулентности в пограничном слое. Однако в случае обтекания проницаемого тонкого тела (например, ткани) постепенное повышение давления приводит к появлению почеречного градиента давления. Создаваемая таким путем благоприятная гидродинамическая обстановка должна приводить к непрерывному нассообмену через полотнище ткани. Таким образом, ламинарный полслой из диффузорной части канала будет выдавливаться в канал постоянного поперечного сечения, что приводит к дополнительной турбуливации пограничного слоя в этом канале. В результате всего этого можно ожидать существенное понышение интенсивности обменных процессов на этом участке.

При течении газа через конфузорную часть канала интенсивность обменных процессов уменьшается вследствие вырождения турбулентности. Однако, интенсивность обменных процессов и в этом случае (т. е. при течении в поле небольших отрицательных градиентов давления по длине) можно существенно новысить за счет придания потоку достаточно больших ускорений, приводящих наряду с ламинаризацией пограничных слоев к их утонению. В конфузорной части давление становится ниже, чем в канале постоянного поперечного сечения, и за счет возникающего поперечного градиента поток направляется от втого канала в конфузорную часть, что приводит к дополнительной турбулизации пограничных слоев и увеличению интенсивности обменных процессов и этом канале. Такая гидродинамическая обстановка не только интенсифицирует процесс сушки, но и делает ее более равномерной.

Интенсивность обменных процессов можно еще более усилить путем применения сипусоидальных листов с обсих сторон. Естественню, что в таких каналах возникающие поперечные градиенты дакления булут более значительными. При правильном конструировании таких каналов повышение гидродинамического сопротивления должно быть не очень большим.

На основании изложенного представляется целесообразным организовать сушку тонких проницаемых тел в поле продольного знакопеременного гряднента давления, возпикающего в канале, выполненном в ниде последовательно чередующихся диффузоров и конфузоров.

Возможность аналитического решения задачи по существу сволится к использованию теории пограничного слоя конечной толщины. Уравнения количества движения, теплового пограничного слоя и диффузионного пограничного слоя при испарении от свободной поверхности соответственно записываются:

$$\frac{d}{dx} \int_{0}^{h} (W - W) W dy - \rho W_{w} W_{v} = \rho \left(\frac{dW}{dy}\right)_{w} + h \frac{dP}{dx}.$$
 (1)

$$\frac{d}{dx}\int_{0}^{h}(T_{*}-T)Wdy=2\left(\frac{dT}{dy}\right)=(T_{*}-T_{*})W. \tag{2}$$

$$\frac{d}{dx}\int_{0}^{h}(B_{1}-B)Wdy=\pi'\left(\frac{dp}{dy}\right)_{\infty}+W_{\infty}(B_{1}-B_{\alpha}). \tag{3}$$

В этих уравнениях:

W продольная состанляющая скорости среды, месек;

W. поперечная составляющая скорости на поверхности, м сек;

Р данление среды, кГ и

 $T = \text{температура, } zpa_{\mathcal{A}};$ 

в парциальное давление, кГм;

 $\rho = \text{плотность, } \kappa \Gamma M^3;$ 

коэффициент кинематической вязкости, кГ сек м;

коэффициент температуропроводности, м-/сем:

2 — коэффициент диффузии, м сек.

Индексами s и w обозначены значения соответствующих величин и конце пограничного слоя и непосредственно на поверхности. Так как и этих уравнениях неличина W, отражает результирующее нлияние двух различных факторов, ее удобно представить в ниде суммы

$$W_w = W_{w_0} + W_{w_0}$$

где  $W_{\perp}$  обусловлено скоростью сушки, а  $W_{\perp}$  — возникающим поперечным градиентом давления, причем, последний зависит как от величины этих градиентов, так и воздухопроницаемости сушимого материала.

Упрощение, как и некоторое уточнение атих уравнений для их последующего решения является нажной задачей. О значениях возникающих поперечных граднентов давления и скорости можно судить, исходя на следующих соображений. При непроницаемой стенке движение среды можно описать системой уравнении Бернулли и неразрывности и закона, характеризующего изменения поперечного сечения канала

$$\frac{dp}{p} + \frac{dw^{2}}{2} = dl_{1} = 0$$

$$\frac{ds}{2} + \frac{dw}{W} + \frac{dF}{F} = 0$$

$$\frac{P}{2} = F(x)$$

$$(4)$$

Граничные условия: для правого по течению канала, при x=0,  $P=P_0,\ W=W_0,\ F=F_0=(l-\alpha)\,h.$ 

 $\frac{dw}{h}$  — потенциальная энергия:  $\frac{dw}{2}$  — кинетическая энергия;  $dl_1$  — работа трения; h — высота канала. m. Значения остальных величии видны из рис. 2.

Для идеальной несжимаемой жидкости систему уранпений можно представить в следующем виде:

$$\frac{P - P_0}{\sigma} = \frac{W^2 - W_0^2}{2} = 0$$

$$WF - W_0 F_0 = 0$$

$$F = F(x)$$
(5)

Для правого по течению канала имеем:

$$F = h \left[ 1 - u \cos \frac{2\pi}{T} x \right].$$

Решая системы уравнений (4) и (5), получаем закон изменения давления в канале:

$$P_{n_{i}} = P_{n} = \frac{a W^{2}}{2} = \frac{W_{0}}{2} = \frac{(1-a)^{2}}{1-a \cos \frac{2a}{2}}$$
 (6)

Аналогично, для левого по течению канала при одинаковых расходах и начального давления  $P_1$  получаем:



$$P_{a} = P_{0} + \frac{\rho W_{0}^{2}}{2} - \frac{\rho W_{0}^{2}}{2} \cdot \frac{(l-a)^{2}}{\left(l+a\cos\frac{2\pi}{T}x\right)^{2}}.$$
 (7)

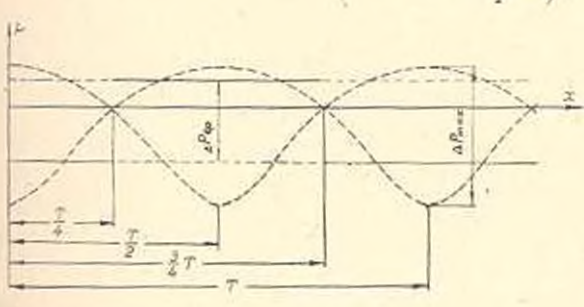


Рис. 3.

Зависимости (6) и (7) графически можно представить в виде кривых представленных на рис. 3. Локальное значение разности давления:

$$\Delta P = P_{x} - P_{xy} = \frac{\sigma W_{x}^{2}(l - a)^{2}}{2} \left[ \frac{1}{\left( \frac{l + a \cos \frac{2\pi}{a} x}{c^{2\pi} x^{2} \cos \frac{2\pi}{a} x} \right)^{2}} - \frac{1}{\left( \frac{l + a \cos \frac{2\pi}{a} x}{c^{2\pi} x^{2} \cos \frac{2\pi}{a} x} \right)^{2}} \right]$$

$$-\frac{1}{\left(1-a\cos\frac{2^{-}}{T}x\right)^{2}}$$
(8)

То же самое значение для  $\Delta P$  мы получим для реальной жидкости, если приближенно принять, что работа трения для конфузорной части равняется работе трения диффузорной части. Закономерность изменения разности давления по длине всего канала можно найти следующим образом:

$$\frac{d(\Delta p)}{dx} = \frac{2 \circ W^{2} (l-a)^{2} \alpha \pi \sin \frac{2\pi}{T} x}{T} \left[ \frac{1}{\left(l-a \cos \frac{2\pi}{T} x\right)^{3}} - \frac{1}{\left(l-a \cos \frac{2\pi}{T} x\right)^{3}} \right]$$
(9)

Среднее значение 4 Р определяется по выражению:

$$\Delta P_{cp} = \frac{g W_0^2 (l-a)^2}{2 (x_2 - x_1)} \int_{x_1}^{x_2} \left[ \frac{1}{\left(l + a \cos \frac{2\pi}{T} x\right)^2} - \frac{1}{\left(l - a \cos \frac{2\pi}{T} x\right)^2} \right] dx.$$
(10)

Интегрируя (10), получаем:

$$\frac{2P_{cp}}{2} = \frac{P W_0^*}{2} \frac{T}{(x_1 - x_2)} \frac{l - a}{l - a} \left[ \frac{l}{1 \overline{l^2 - a^2}} - \frac{2a \operatorname{tg} \frac{\pi}{T} x}{1 - \operatorname{tg}^2 \frac{2\pi}{T} x} \right]$$

$$\frac{al \sin \frac{2\pi}{T} x}{l^2 - a^2 \cos \frac{2\pi}{T} x}$$

Определенный интерес представляет значение средней разности давления и интервале  $\frac{1}{4}$   $T \leqslant x \leqslant \frac{3}{4}$  T. Для этого интервала из выражения (11) получаем:

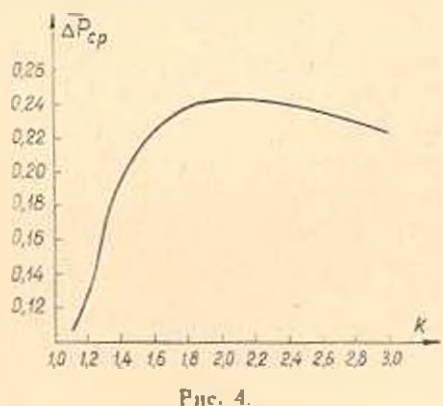
$$\Delta P_{cp} = \frac{2\phi W}{\pi} \cdot \frac{l-a}{l-a} \left( \frac{l}{1 \cdot l^2 - a^2} \operatorname{arctg} \frac{a}{V \cdot l^2 - a^2} - \frac{a}{l} \right) \tag{12}$$

Обозначим  $\frac{l}{l} = k$  и  $\frac{\Delta P_{r}}{|E|} = \Delta P_{rp}$ , тогда выражение (12) принимает

:LKR

$$\Delta P_{ep} = \frac{2}{\pi} \cdot \frac{k-1}{k+1} \left( \frac{k}{1 + \frac{k^2-1}{k^2-1}} - \frac{1}{k} \right).$$
 (13)

Таким образом, безразмерная средняя разность давления ( $\Delta P_{cp}$ ) зависит только от безразмерного расстояния сушимого тела от оси синусоиды (k). Вид этой зависимости графически изображен на рис. 4. Из рис. 4 видно, что средняя разность давления достигает максималь-



ной величины при  $\kappa=2,1$ . Таким образом, при оптимальном расположении синусоидальных листов даже при умеренных скоростях ( $W=8-10\ \text{м/сек}$ ) можно на понерхности ткани обеспечить необходимую среднюю разность давления порядка  $10\ \kappa F$  м.

Как уже было сказано, поперечная составляющая скорости  $W_{w2}$  обусловлена возникающим поперечным градиентом давления и коэффициентом воздухопроницаемости. Величина коэффициента воздухопроницаемости зависит как от параметрон воздушного потока, протекающего через ткань, так и от структуры (внутреннего строения) самой ткани. Существенные в настоящее время зависимости дают в основном связь между перепадом давления  $\Delta P$  и коэффициентом воздухопроницаемости  $B\Delta p$ . Наиболее известна формула проф. X. A. Рахматуллина:

$$\Delta P = b W_{w2} + d W_{w2}^{2}, \tag{14}$$

где b и d — экспериментально определяемые коэффициенты, эначения которых различны для различных тканей.

При малых скоростях (малых  $\Delta P$ ) для плотной толстой ткани обычно вторым членом пренебрегают, и формула (14) переходит в формулу

$$\Delta P = b W_{\text{tr}2}. \tag{15}$$

При больших скоростях (больших  $^{\Delta}P$ ) для малоплотных тканей, наоборот, пренебрегают первым членом, и формула (14) переходит в формулу

$$\Delta P = dW_{\text{ac}}^2. \tag{16}$$

С аэродинамической точки эрения можно сказать, что формула (15) соответствует ламинарному движению воздуха в ткани, а формула (16) турбулептному. Общему случаю соответствует соотношение (14). Аля нашей задачи силы вязкостного трения при сравнительно малых скоростях движения воздуха через влажную ткань преобладают над силами инерции, в связи с чем с достаточной точностью можно принимать зависимость (15). Используя зависимости (15), (8), (9) и (13), можно приближенно оценить значение поперечной составляющей скорости. Для тканей средней воздухопроницаемости они достигают величины порядка 2—3 м/сек. При таких значениях поперечной скорости поздуха следует ожидать достаточной высокой интенсификации сушки.

Несмотря на логичность приведенных рассуждений, обстоятельное изучение полей давления, необходимое для организации эффектинного обмена может быть осуществлено только эксперимен альным путем. Поэтому нами были выполнены экспериментальные исследования для определения в предлагаемых каналах полей давления и гидродинамического сопротивления. Результаты экспериментальных исследований в целом подтверждают эти выводы, они будут опубликованы отдельно.

Ереванский политехнический институ: им. К. Маркеа

Поступнае 23.IV.1970.

վ, 8. ՎՈՒԼՈՅՈՆ, Է Ս. ՀՈՎՀԱՆԵՐԵՅԱՆ, Կ, Ն, ԱԳԱՐՅԱՆ

ԴՔԱԳԻԵՆՏԱՅԻՆ ՀՈՍՄԱՆ ԳԱՇՏՈՒՄ ՔԱՔԱԿ <mark>ԹԱՓԱ</mark>ՆՑԻԿ ՄԱՐՄԻՆՆԵՐ ՉՈՐԱՑՄԱՆ ՊՐՈՑԵՍԻ ԻՆՏԵՆՍԵՖԻԿԱՑՄԱՆ ՇՈՒՐՋԸ

H. if if challengers of

Բարակ Թափանցիկ մարմինների չորացման պրոցնսին վերաբերվող աչ իստաանքների ուսումնասիրությունը ցույց է տալիս, որ դեռևս թիչ է ուշագրություն դարձվում այդ պրոցնաի ինտենակվությունը պայմանավարող Տիմնական գործոնին՝ քիդրոդինամիկական - իրավիձակին Չորացման պրոցհոր ավելի արգլունավետ դարձնելու համար տոտչարկվում է այն կազմակերպել գնովախական Տնշման դաշտում։ Այգպիսի դաշտ կարհլի է սահցծել փոփոխական կարվածքի ակոսների օգնությունը, որոնը կազմվում են Հարթ և օրնուսոիդալ ձև ունեցող քիքքեղներով։ Մարժնի մակերևույքի վրա առաջացող ձևշուժների տարբերության շնորհիվ ստեղծվում է լայնական հոսը անժիջա--ըացու լմաարա է դամա իոգմանան, որի փոջոն վորներան ըսկար է ապատել չորացման խիստ ինաննսիվացում։ Այգ պրոցնոր անտական անալիդի օգնությամբ Տոդվածում ապացուցվում է, որ նույնիսկ չափավոր արադությունների դեպրում (10 մ)վրկ) կարհլի է լորացվող մարմինների մակերևույքքի վրա ճնյումների զդալի տարբերություն ստեղծել (10-15 կգ/մ-), որի պայմաններում արագուիլաև վայևական րագադրիչի մեծուիկունը միջին իափանլելիուիկան մարժինների ժոտ կարող է հասնել 2-3 մ.վրկ-իւ